

But de ce cours .

Etude du mouvement d'une particule dans un potentiel quadrupolaire oscillant. Les problèmes liés à la présence de plusieurs particules (collisions, charge d'éspace) seront abordés ultérieurement.

1 - Introduction (Transparent T 1)2 - Limite adiabatique

Potentiel effectif, fréquences lentes (T 2)

Mouvement de la particule (T 3 à T 4)

Profondeur des points (T 5 à T 7)

Visualisation expérimentale (T 8)

3 - Etude générale

Équation de Mathieu (T 9)

Propriétés générales de la solution (T 10 à T 15)

Domaine de stabilité du piège (T 16 à T 20)

Selectivité en  $q/m$  - Filtrage de masse (T 21 à T 22)

4 - Etude quantique (T 23 à T 26)5 - Comparaison entre le piège de Paul et le piège de Penning (T 27 à T 28)

Références page II - 9

<u>Piège de Paul</u>	(1)
$\phi(\vec{r}, t) = A(x^2 + y^2 - z^2) \cos \Omega t$	
Potentiel quadrupolaire modulé à la fréquence $\Omega$	
<u>Limite adiabatique</u>	
Cas où la vibration à $\Omega$ est très rapide devant le mouvement séculaire	
Notion de potentiel effectif	
Images physiques simples	
Résultats analytiques	
<u>Etude générale</u>	
Ne nécessite pas l'existence de 2 fréquences très différentes.	
Equation de Mathieu	
Recherche des solutions stables de cette équation	

<u>Limite adiabatique</u>	(2)
$\phi(\vec{r}, t) = A(x^2 + y^2 - z^2) \cos \Omega t$	
Champ au point $\bar{x}, \bar{y}, \bar{z}$	$\vec{E} = -\vec{\nabla} \phi$
$\vec{E}(\bar{x}, \bar{y}, \bar{z}, t) = \vec{E}(\bar{x}, \bar{y}, \bar{z}) \cos \Omega t$	
$E_x = -2A\bar{x}$	$E_y = -2A\bar{y}$
	$E_z = 4A\bar{z}$
Potentiel effectif	
$V_{eff}(\bar{x}, \bar{y}, \bar{z}) = \frac{q^2 \vec{E}^2}{4m\Omega^2} =$	
$= \frac{q^2 A^2}{m\Omega^2} [\bar{x}^2 + \bar{y}^2 + 4\bar{z}^2]$	
Potentiel harmonique dans les 3 directions. Minimum en $\bar{x} = \bar{y} = \bar{z} = 0$	
$V_{eff}$ indépendant du signe de $q$	
<u>Fréquences du mouvement lent</u>	
$V_{eff}(\bar{x}, \bar{y}, \bar{z}) = \frac{m}{2} [\bar{\omega}_x^2 \bar{x}^2 + \bar{\omega}_y^2 \bar{y}^2 + \bar{\omega}_z^2 \bar{z}^2]$	
$\bar{\omega}_z = \sqrt{\bar{\omega}_x^2 + \bar{\omega}_y^2} = \sqrt{2} q A / m \Omega$	
Vibration lente à $\bar{\omega}_x, \bar{\omega}_y, \bar{\omega}_z$	
Traitement valable si $\Omega \gg \bar{\omega}_x, \bar{\omega}_y, \bar{\omega}_z$	

II-2

### Mouvement de la particule

$$x_i = \bar{x}_i + \xi_i = \bar{x}_i - \frac{q E_i(\bar{x}, \bar{y}, \bar{z})}{m \Omega^2} \cos \Omega t$$

Par exemple, pour  $i = 3$

$$\ddot{z} = \bar{\ddot{z}} - \frac{4Aq}{m\Omega^2} \bar{z} \cos \Omega t$$

Mouvement lent      Mouvement rapide

### Expression de $\bar{z}$

$$\ddot{z} = \bar{z}_m \cos \bar{\omega}_3 t$$

$\bar{z}_m$ : Amplitude de la vibration lente à  $\bar{\omega}_3 = 2\sqrt{2} q A / m \Omega^2$

$$\frac{4Aq}{m\Omega^2} = \sqrt{2} \frac{\bar{\omega}_3}{\Omega} \ll 1$$

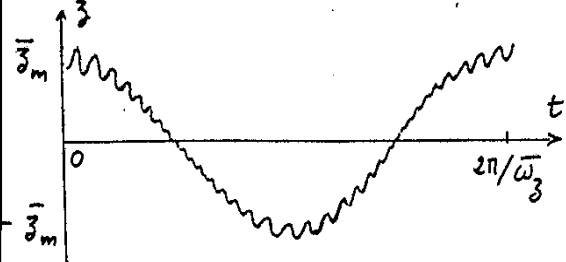
### Finalement

$$z = \bar{z}_m \cos \bar{\omega}_3 t \left[ 1 - \sqrt{2} \frac{\bar{\omega}_3}{\Omega} \cos \Omega t \right]$$

Fréquences :  $\omega_3, \Omega \pm \omega_3$

### Allure du mouvement

(4)



Amplitude de la vibration rapide proportionnelle à la distance au centre, et très petite devant  $\bar{z}_m$  (réduction par  $\sqrt{2} \bar{\omega}_3 / \Omega \ll 1$ )

### Vitesse associée au mouvement lent

$$\dot{z} = -\bar{z}_m \bar{\omega}_3 \sin \bar{\omega}_3 t$$

### Vitesse associée au mouvement rapide

$$\begin{aligned} \dot{z} &\approx -\bar{z}_m \sqrt{2} \frac{\bar{\omega}_3}{\Omega} \Omega \sin \Omega t \\ &= -\bar{z}_m \sqrt{2} \bar{\omega}_3 \sin \Omega t \end{aligned}$$

Vitesses comparables

### Profondeur des trous effectifs (en volts)

#### Profondeur le long de $Oz$

$$\bar{D}_3 = \frac{1}{q} [V_{eff}(0,0,3_0) - V_{eff}(0,0,0)] = \frac{4qA^2 3_0^2}{m\Omega^2}$$

$$\frac{1}{2} m \bar{\omega}_3^2 3_0^2 = q \bar{D}_3$$

#### Profondeur le long de $Ox$ et $Oy$

$$\frac{1}{2} m \bar{\omega}_x^2 r_0^2 = q \bar{D}_x$$

Comme  $\bar{\omega}_3 = 2\bar{\omega}_x$ ,  $\bar{D}_x = \bar{D}_3$  si  $r_0 = 23_0$ .

#### Lien avec la différence de potentiel appliquée entre les électrodes

$$\Phi = A(x^2 + y^2 - 2z^2) \cos \Omega t$$

$$\begin{aligned} V_0 \cos \Omega t &= \Phi(r_0, 0, 0, t) - \Phi(0, 0, 3_0, t) \\ &= A(r_0^2 + 23_0^2) \cos \Omega t \end{aligned}$$

$$\hookrightarrow A = \frac{V_0}{r_0^2 + 23_0^2}$$

$$\bar{D}_3 = \frac{4qV_0^2 3_0^2}{m(r_0^2 + 23_0^2)^2 \Omega^2} \quad \bar{\omega}_3 = \frac{2\sqrt{2}qV_0}{m(r_0^2 + 23_0^2) \Omega}$$

### Comparaison avec la profondeur du puits statique (pour $\Omega = 0$ )

$$\begin{aligned} \bar{D}_3 &= \phi(0, 0, 3_0) - \phi(0, 0, 0) \\ &= -2A 3_0^2 = -\frac{2V_0 3_0^2}{r_0^2 + 23_0^2} \end{aligned}$$

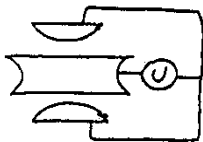
(On suppose  $V_0 < 0$ )

$$\frac{\bar{D}_3}{D_3} = \frac{-2qV_0}{m(r_0^2 + 23_0^2) \Omega^2} = \sqrt{2} \frac{\bar{\omega}_3}{\Omega}$$

Comme  $\bar{\omega}_3 \ll \Omega$ , le puits de potentiel effectif est beaucoup moins profond que le puits statique (pour  $\Omega = 0$ )

Il ne faut pas oublier cependant qu'avec  $\Omega = 0$ , on ne peut pas avoir de trous de potentiel dans les 3 directions à la fois

### Combinaison d'un potentiel effectif et d'un potentiel statique



$$U = U_0 + V_0 \cos \Omega t$$

$$\phi = \frac{U}{r_0^2 + 2z_0^2} (x^2 + y^2 - 2z^2)$$

Potentiel effectif (provenant de  $V_0 \cos \Omega t$ )

$$\psi = \frac{q V_0^2}{m \Omega^2 (r_0^2 + 2z_0^2)^2} (x^2 + y^2 + z^2)$$

Potentiel statique (provenant de  $U_0$ )

$$\phi_{st} = \frac{U_0}{r_0^2 + 2z_0^2} (x^2 + y^2 - 2z^2)$$

Potentiel total  $\phi_{tot} = \phi_{st} + \psi$

Isotrope si  $U_0 = q V_0^2 / m \Omega^2 (r_0^2 + 2z_0^2)$

Ordres de grandeur

$$r_0 = \sqrt{2} z_0 = 1.13 \text{ cm}, \Omega/2\pi = 524 \text{ KHz}, U_0 = +8 \text{ V}$$

$$V_0 = 297 \text{ V} \rightarrow D_r = D_z = 12 \text{ eV}$$

$$\bar{\omega}_z/2\pi = 69 \text{ KHz} \quad \bar{\omega}_x/2\pi = 49 \text{ KHz}$$

### Visualisation expérimentale (8)

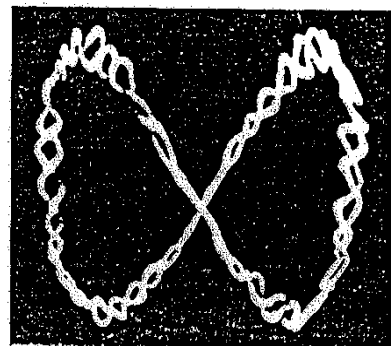
Petites sphères chargées en aluminium ( $\phi \approx 20 \mu\text{m}$ ), piégées dans un piège de Paul. Illuminées par un arc et observées directement  
Voir référence (5)

#### Exemple de résultat

$$U_0 = 0 \quad V_0 = 500 \text{ V} \quad \Omega/2\pi = 200 \text{ Hz}$$

$$q/m = 0.0053 \text{ Coulombs/Kg}$$

Comme  $\bar{\omega}_z = \sqrt{\omega_x^2 + \omega_y^2}$ , on observe une courbe de lissajous 2:1 pour le mouvement lent (Figure extraite de 5)



### Équations du mouvement (9)

$$\phi = \frac{U}{r_0^2 + 2z_0^2} (x^2 + y^2 - 2z^2)$$

$$U = U_0 + V_0 \cos \Omega t \quad \left\{ \begin{array}{l} \text{d.d.p. statique} \\ \text{+ d.d.p. modulée} \end{array} \right.$$

$$\left\{ \begin{array}{l} \ddot{x} = -\frac{q}{m} \frac{\partial \phi}{\partial x} = -\frac{2q}{m(r_0^2 + 2z_0^2)} [U_0 + V_0 \cos \Omega t] x \\ \ddot{z} = -\frac{q}{m} \frac{\partial \phi}{\partial z} = \frac{4q}{m(r_0^2 + 2z_0^2)} [U_0 + V_0 \cos \Omega t] z \end{array} \right.$$

Changement de variables

$$\Omega t = 2\tau \quad x_1 = x \quad x_2 = y \quad x_3 = z$$

$$a_3 = a_z = -16 q U_0 / m \Omega^2 (r_0^2 + 2z_0^2)$$

$$q_3 = q_z = 8 q U_0 / m \Omega^2 (r_0^2 + 2z_0^2)$$

$$a_1 = a_r = -\frac{a_z}{2} \quad q_1 = q_r = -\frac{q_z}{2}$$

$$\frac{d^2 x_i}{d\tau^2} + (a_i - 2q_i \cos 2\tau) x_i = 0$$

Équation de Mathieu

### Forme générale de la solution (10)

- Équation différentielle linéaire du 2<sup>nd</sup> ordre avec coefficients fonctions périodiques de T, de période T = π (Floquet)

- Si  $x(\tau)$  solution,  $x(\tau + \pi)$  aussi

- Soient  $g(\tau)$  et  $h(\tau)$  2 solutions linéairement indépendantes de l'équation. Toute solution  $x(\tau)$  peut s'écrire

$$x(\tau) = A g(\tau) + B h(\tau)$$

en particulier  $g(\tau + \pi)$  et  $h(\tau + \pi)$

$$\left\{ \begin{array}{l} g(\tau + \pi) = \alpha_1 g(\tau) + \alpha_2 h(\tau) \\ h(\tau + \pi) = \beta_1 g(\tau) + \beta_2 h(\tau) \end{array} \right.$$

Recherche de solutions telles que

$$x(\tau + \pi) = \mu x(\tau)$$

$$(A\alpha_1 + B\beta_1) g + (A\alpha_2 + B\beta_2) h = \mu A g + \mu B h$$

$$\hookrightarrow \left\{ \begin{array}{l} (\alpha_1 - \mu) A + \beta_1 B = 0 \\ \alpha_2 A + (\beta_2 - \mu) B = 0 \end{array} \right.$$

En général, 2 valeurs possibles pour  $\mu$

### Fonctions $x_1(\tau)$ et $x_2(\tau)$ (11)

$$\begin{cases} x_1(\tau + \pi) = \mu_1 x_1(\tau) \\ x_2(\tau + \pi) = \mu_2 x_2(\tau) \end{cases}$$

Forme générale de  $x_i(\tau)$  ( $i=1,2$ )

Posons  $\mu_i = e^{\sigma_i \pi} \rightarrow \sigma_i = \frac{1}{\pi} \log \mu_i$ ,

et  $X_i(\tau) = e^{-\sigma_i \tau} x_i(\tau)$

$$X_i(\tau + \pi) = e^{-\sigma_i(\tau + \pi)} \underbrace{x_i(\tau + \pi)}_{= \mu_i x_i(\tau) = e^{\sigma_i \pi} x_i(\tau)}$$

$$\hookrightarrow X_i(\tau + \pi) = e^{-\sigma_i \tau} x_i(\tau) = X_i(\tau)$$

$$\hookrightarrow x_i(\tau) = e^{\sigma_i \tau} X_i(\tau) = e^{\frac{\pi}{\pi} \log \mu_i} X_i(\tau) = (\mu_i)^{\frac{\tau}{\pi}} X_i(\tau)$$

Finalement,

$$x_i(\tau) = (\mu_i)^{\frac{\tau}{\pi}} X_i(\tau)$$

$X_i(\tau)$  : périodique de période  $\pi$

### Propriétés de $\mu_1$ et $\mu_2$ (12)

① De l'équation de Mathieu, on déduit

$$\ddot{x}_1 x_2 - \ddot{x}_2 x_1 = 0$$

$$\hookrightarrow \frac{d}{d\tau} (\dot{x}_1 x_2 - x_1 \dot{x}_2) = 0 \rightarrow \dot{x}_1 x_2 - x_1 \dot{x}_2 = C^{\text{ct}}$$

$$\dot{x}_1(\tau + \pi) x_2(\tau + \pi) - x_1(\tau + \pi) \dot{x}_2(\tau + \pi) = \\ W(\tau + \pi) = W(\tau)$$

Or,  $x_i(\tau + \pi) = \mu_i x_i(\tau)$  et

$\dot{x}_i(\tau + \pi) = \mu_i \dot{x}_i(\tau)$  entraînent que

$$W(\tau + \pi) = \mu_1 \mu_2 W(\tau)$$

On en déduit

$$\boxed{\mu_1 \mu_2 = 1}$$

② Réalité des coefficients de l'équation de Mathieu

Si  $x(\tau)$  solution,  $x^*(\tau)$  aussi

$\hookrightarrow$  L'ensemble  $\{\mu_1, \mu_2\}$  doit coïncider avec l'ensemble  $\{\mu_1^*, \mu_2^*\}$

### Les 2 possibilités pour $\mu_1$ et $\mu_2$ (13)

$$\textcircled{1} \quad \mu_1 = \mu_1^* \quad \mu_2 = \mu_2^*$$

$$\hookrightarrow \mu_1 = 1/\mu_2 \quad \mu_1, \mu_2 \text{ réels}$$

$$\mu_1 = e^{\sigma \pi} \quad \mu_2 = e^{-\sigma \pi} \quad \sigma \text{ réel}$$

Forme des solutions

$e^{\sigma \tau} X_1(\tau)$	$e^{-\sigma \tau} X_2(\tau)$
-----------------------------	------------------------------

$$\textcircled{2} \quad \mu_1 = \mu_2^* \quad \mu_2 = \mu_1^*$$

$$\hookrightarrow \mu_2 = 1/\mu_1 = \mu_1^* \rightarrow |\mu_1|^2 = 1$$

$$\mu_1 = e^{i\beta \pi} \quad \mu_2 = e^{-i\beta \pi}$$

$\beta$  réel, compris entre 0 et  $\pi$   
Forme des solutions

$e^{i\beta \tau} X_1(\tau)$	$e^{-i\beta \tau} X_2(\tau)$
-----------------------------	------------------------------

La 1<sup>re</sup> situation conduit à des solutions qui divergent en général

La 2<sup>me</sup> situation conduit à des solutions qui restent bornées

### Problèmes analogues (14)

① Etude des solutions de l'équation de Schrödinger pour un potentiel spatial périodique

- Solutions divergentes

Bandes interdites  
(Etats de surface)

- Solutions bornées

Bandes permises  
(Fonctions de Bloch)

② Équation de Schrödinger avec une perturbation dépendant du temps périodique

Hamiltoniens de Floquet-Shirley

Quasiénergies

Lien avec l'hamiltonien de "l'atome habillé" (voir cours 76-77)

Signification de  $\beta$  pour  $\beta \ll 1$  (15)

Solution stable  $x(\tau) = e^{i\beta\tau} X(\tau)$

$X(\tau)$  périodique, donc développable en série de Fourier

$$X(\tau) = c_0 + c_1 e^{i\Omega\tau} + \dots$$

$$x(\tau) = c_0 e^{i\beta\tau} + c_1 e^{i(\Omega+\beta)\tau} + \dots$$

Retour à t       $\Omega t = 2\tau$

$$x(t) = c_0 e^{i\beta\frac{\Omega t}{2}} + c_1 e^{i\Omega t} e^{i\beta\frac{\Omega t}{2}} + \dots$$

Si  $\beta \ll 1$ ,  $\frac{\beta\Omega}{2}$  apparaît comme la fréquence  $\bar{\omega}$  du mouvement lent apparaissant à la limite adiabatique

$$x(t) = c_0 e^{i\bar{\omega}t} + c_1 e^{i\bar{\omega}t} e^{i\Omega t} + \dots$$

Si  $\beta \ll 1$ , on a donc

$$\beta = 2 \frac{\bar{\omega}}{\Omega}$$

Frontières entre solutions stables et instables (16)

$\mu = e^{i\beta\pi}$  devient réel pour

$$\beta = 0 \quad \mu_1 = \mu_2 = 1$$

$$\beta = 1 \quad \mu_1 = \mu_2 = -1$$

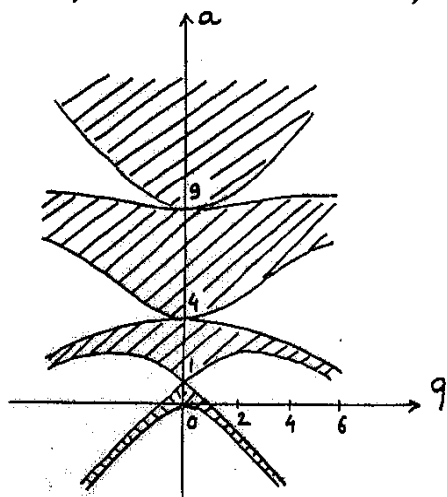
Dans ce cas, la solution  $x(\tau)$  est périodique, de période  $\pi$  (pour  $\beta = 0$ ) ou  $2\pi$  (pour  $\beta = 1$ )

Les valeurs de  $a$  et  $q$  pour lesquelles l'équation de Mathieu

$\ddot{x} + (a - 2q \cos 2t)x = 0$  admet des solutions périodiques, de période  $2\pi$  ( $\mu_1 = \mu_2 = \pm 1$ ) tombent sur des courbes caractéristiques  $f(a, q) = 0$ , séparant le plan  $a, q$  en régions de stabilité et régions d'instabilité

Allure des courbes caractéristiques

(Déduites des relations de récurrence obtenues en portant le développement de Fourier de  $x(\tau)$  dans l'équation de Mathieu) (17)



Les régions de stabilité sont hachurées

Cas particulier  $q = 0$  (18)

$$\frac{d^2x}{dt^2} + ax = 0$$

$a > 0$  Solutions stables,  $e^{\pm i\sqrt{a}t}$

$a < 0$  Solutions instables,  $e^{\pm \sqrt{|a|}t}$

Pour  $a^2 = 0, 1, 4, 9, 16, \dots n^2$ , solution périodique de période  $\pi$  ou  $2\pi$  ( $\beta = +1$  ou  $-1$ )

↳ Les courbes caractéristiques doivent passer par ces points.

Interprétation de l'instabilité

apparaissant au voisinage de  $a^2 = 1$  quand  $q$  devient non nul

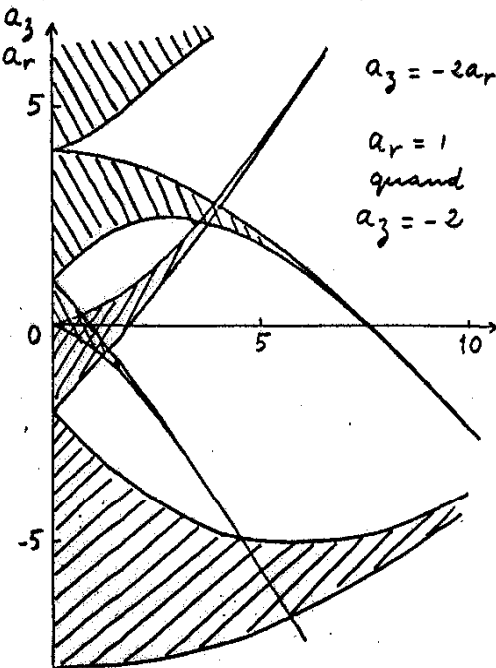
Si  $q = 0$ , oscillateur de fréquence  $\Omega/2$ . Quand  $q$  devient non nul, modulation de la force de rappel à la fréquence  $\Omega$ .

↳ Résonance paramétrique (Excitation d'une balançoire)

II-6

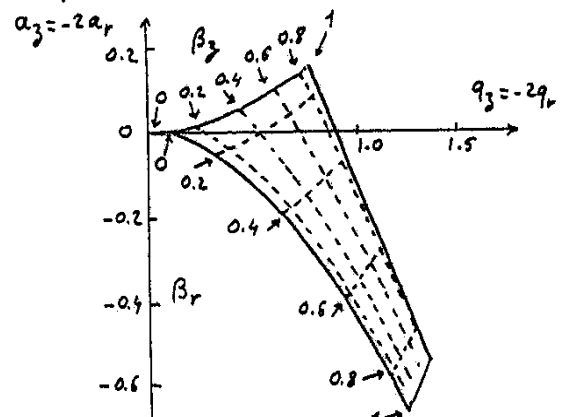
### Domaine de stabilité de $z$

#### Domaine de stabilité de $x, y$ ( $r$ )



Intersection des 2 zones de stabilité  
Mouvement stable dans le piège

### Premier domaine de stabilité (2) (le plus utilisé)



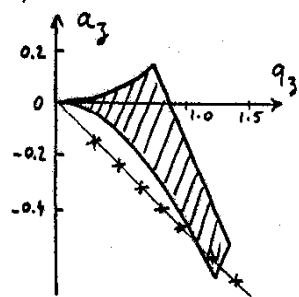
Réseau de courbes "iso- $\beta$ "

Chaque point correspond à un  $\beta_r$  et un  $\beta_3$  bien défini

Pour  $a=0$  (pas de d.d.p. statique, piège RF pur), on vérifie que, pour  $q$  petit,  $\beta_3 = 2\beta_r$ , ce qui correspond au résultat  $\bar{\omega}_3 = 2\bar{\omega}_r$  de la limite adiabatique

### Sélectivité en $q/m$

Pour un piège donné ( $r_0, z_0, \Omega, V_0, V_0$  fixes), les divers points  $a, q$  correspondant à diverses valeurs de  $q/m$  se placent sur une droite passant par 0

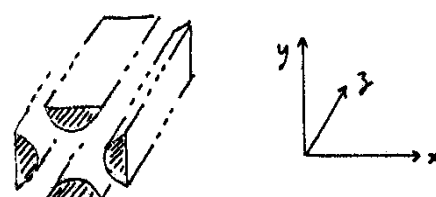


Si l'on choisit la pente de la droite de manière à passer près d'un bord du diagramme de stabilité, le piège ne garde que les ions pour lesquels  $q/m$  a la bonne valeur

### Filtre de masse

Utilisé comme analyseur de gaz résiduels

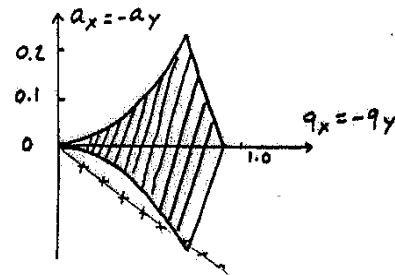
#### Structure des électrodes



$$\text{Potentiel : } A(x^2 - y^2) / 2r_0^2$$

Jet d'ions envoyé le long de l'axe avec une vitesse parallèle à  $Oz$

#### Diagramme de stabilité



Etude quantique

(23)

Problème

- Dans tout ce qui précède, la position  $\vec{r}$  et l'impulsion  $\vec{p}$  de la particule sont traitées classiquement
- Les résultats concernant le domaine de stabilité et les fréquences du mouvement demeurent-ils valables lorsque  $\vec{r}$  et  $\vec{p}$  sont traités quantiquement ?

Réponse

Oui, parce que le potentiel quadrupolaire est quadratique en  $x, y, z$

Importance de ne pas avoir de termes  $l > 2$  dans le développement du potentiel  $\phi$  en  $Y_l^m$

Voir référence (11), et dernière partie de la référence (12)

Esquisse d'une démonstration (24)

- Description de l'état de la particule quantique en termes de fonction de Wigner  $w(\vec{r}, \vec{p})$ , reliée très simplement à la matrice densité  $\langle \vec{r}| \sigma | \vec{r}' \rangle$  de la particule en représentation  $\vec{r}$

$$w(\vec{r}, \vec{p}) = \frac{1}{\hbar^3} \int d\vec{u} e^{-i\vec{p} \cdot \vec{u}/\hbar} F(\vec{r}, \vec{u})$$

$$F(\vec{r}, \vec{u}) = \langle \vec{r} + \frac{\vec{u}}{2} | \sigma | \vec{r} - \frac{\vec{u}}{2} \rangle$$

- Intérêt de  $w(\vec{r}, \vec{p})$

- Description complète
- Resssemble beaucoup à la densité classique dans l'espace des phases (Mais peut prendre des valeurs négatives :  $w$  est une densité de "quasi probabilité")

Voir Cours 1983-84

Pages VII-1 à VII-9

Équations d'évolution de  $w$ 

(25)

Particule dans un potentiel  $V(r, t)$  pouvant dépendre de  $t$

L'équation de Schrödinger  $i\hbar \dot{\phi} = [H, \phi]$  conduit à l'équation d'évolution suivante pour  $w(r, p)$

$$\left[ \frac{\partial}{\partial t} + \frac{P}{m} \frac{\partial}{\partial r} - \frac{\partial V}{\partial r} \frac{\partial}{\partial P} \right] w(r, p) = -\frac{\hbar^2}{2m} \frac{d^3 V}{dr^3} \frac{\partial^3}{\partial P^3} w(r, p) + \dots$$

1<sup>er</sup> membre Même structure que l'équation d'évolution classique (vol. libre + effet de la force  $-\frac{dV}{dr}$ )

2<sup>eme</sup> membre Corrections quantiques (proportionnelles à  $\hbar$ ) et faisant intervenir les dérivées spatiales d'ordre 3, 5 ... du potentiel

Nulles pour un  $V$  quadratique

Cas d'un potentiel

(26)

$$V(\vec{r}, t) = v(\vec{r}) \cos \omega t$$

Mise de l'équation de Schrödinger  $i\hbar \frac{\partial}{\partial t} \phi = -\frac{\hbar^2}{2m} \nabla^2 \phi + v(\vec{r}) \cos \omega t \phi$  sous une forme équivalente, où apparaît le potentiel effectif

$$V_{eff}(\vec{r}) = \frac{(\vec{\nabla} v)^2}{4m\omega^2}$$

Changement de variable

$\phi(\vec{r}, t) = \psi(\vec{r}, t) e^{i v(\vec{r}) \sin \omega t / \hbar \omega}$  suggéré par la solution de l'équation de Schrödinger sans le terme  $-\frac{\hbar^2}{2m} \nabla^2 \phi / \omega$

Équation obtenue pour  $\phi$ 

$$i\hbar \frac{\partial}{\partial t} \phi = -\frac{\hbar^2}{2m} \nabla^2 \phi + \frac{(\vec{\nabla} v)^2}{4m\omega^2} \phi$$

$$-\frac{(\vec{\nabla} v)^2}{4m\omega^2} \phi \cos^2 \omega t + \frac{i\hbar}{m\omega} (\vec{\nabla} v \cdot \vec{\nabla} \phi + \frac{\hbar^2}{2} \vec{\nabla}^2 v \phi) \sin \omega t$$

Voir référence (12)

Problème : Comment évaluer l'effet des termes oscillants de la 2<sup>eme</sup> ligne ?

### Comparaison entre le piège de Penning et le piège RF

- ① Le piège RF peut fonctionner sans champ magnétique  $B_0$ , à la différence du piège de Penning.  
↳ Pas de limitations liées aux inhomogénéités spatiales et aux instabilités temporelles de  $B_0$ .
- ② Dans un piège de Penning,  $w_c$  décrivait comme  $1/m$  et  $w_z$  comme  $1/\sqrt{m}$  quand  $m$  croît.  
La condition  $w_c \gg w_z$  est plus difficile à réaliser pour des électrons que pour des ions.
- ③ Profondeur du puits effectif associé à  $V_0 \cos \omega t$  plus petite que celle du puits associé à  $V_0$  (par un facteur  $\bar{w}/\omega$ ). Mais  $V_0 \cos \omega t$  pêche dans les 3 directions !

④ Le caractère effectif du potentiel piégeant dans un piège RF fait que des transferts d'énergie peuvent se produire entre le champ RF et le mouvement de l'ion lors de collisions avec un gaz étranger

Chauffage RF (analogie à l'effet Bremsstrahlung inverse pour des électrons dans un faisceau laser)

Dans un piège de Penning par contre, vrai potentiel. Pas de micromouvement rapide

En principe, on peut donc espérer descendre plus bas en température dans un piège de Penning (à conditions toutefois que ce piège soit parfait)

### Références

#### Piège de Penning

- 1 - W. Paul, H. Steinwedel, Z. Naturforsch. 8a, 548 (1953)
- 2 - W. Paul, H.P. Reinhardt, U. von Zahn, Z. für Phys. 152, 143 (1958)
- 3 - E. Fischer, Z. für Phys. 156, 1 (1959)
- 4 - H.G. Dehmelt, Adv. At. Mol. Phys. 3, 53 (1967)
- 5 - R.F. Werner, H. Shelton, R.V. Langmuir J. Appl. Phys. 30, 342 (1959)
- 6 - P.H. Dawson, Quadrupole mass Spectrometry and its application, Elsevier (1976)

#### Piège cylindrique

- 7 - M.N. Bernal, C. Audoin, Int. J. Mass. Spectro. Ion. Phys. 11, 421 (1973)

#### Équation de Mathieu

- 8 - A. Angot, Compléments de Mathématique, Masson (1972), 6<sup>e</sup> ed. § 7.7
- 9 - Mc Lachlan, Theory and applications of Mathieu functions, Clarendon (1947)
- 10 - R. Campbell, Théorie générale de l'équation de Mathieu, Masson (1955)

#### Théorie quantique

- 11 - M. Combescure, A quantum particle in a radiofrequency trap. Annales Institut Henri Poincaré, 2<sup>e</sup> partie
- 12 - R.J. Cook, D.G. Shanksland, A.L. Wells, Phys. Rev. A 31, 564 (1985)